

KORELACJA CECH WYTRZYMAŁOŚCIOWYCH I WYTYŻENIE MATERIAŁU

JANUSZ MURZEWSKI, ZBIGNIEW MENDERA (KRAKÓW)

1. Statystyczne określenie wytyżenia

Rozpatrujemy materiał, który pod działaniem naprężenia może ulec zniszczeniu bądź to w formie uplastycznienia, bądź to pęknięcia. Materiał pozostaje niezniszczony, jeśli jednocześnie zachodzą następujące nierówności:

$$(1.1) \quad \sigma_H < Q, \quad \sigma_G < R,$$

gdzie σ_H jest to naprężenie zastępcze ze względu na uplastycznienie, a σ_G naprężenie zastępcze ze względu na pęknięcie. Naprężenie zastępcze rozumie się tak, jak w klasycznej teorii wytyżenia; Q jest granicą plastyczności, a R granicą wytrzymałości rozdzielczej. Granice te są skorelowanymi zmiennymi losowymi.

Prawdopodobieństwo, że materiał pozostaje niezniszczony przy ustalonym stanie naprężenia, równa się prawdopodobieństwu spełnienia układu nierówności (1.1):

$$(1.2) \quad W = P(\sigma_H < Q, \sigma_G < R),$$

a prawdopodobieństwo zniszczenia:

$$(1.3) \quad w = 1 - W = F(Q^*, R^*) \quad \text{dla} \quad Q^* = \sigma_H, R^* = \sigma_G.$$

Prawdopodobieństwo w nazywamy wytyżeniem materiału, a $F(Q, R)$ jest dystrybuantą dwuwymiarowego rozkładu zmiennych losowych Q i R .

Probabilistyczną definicję wytyżenia wprowadził pierwszy z autorów dla ośrodków mikro-niejednorodnych [7]. Oznaczając prawdopodobieństwo mikro-uplastycznienia symbolem κ , a prawdopodobieństwo mikro-speknięcia symbolem λ i zakładając stochastyczną niezależność granic mikro-plastyczności i mikro-wytrzymałości, podał on wzór:

$$(1.4) \quad \mu = 1 - (1 - \kappa)(1 - \lambda) = \kappa - \kappa\lambda + \lambda,$$

gdzie μ jest wytyżeniem w sensie mikroskopowym, czyli miarą koncentracji mikro-elementów uszkodzonych w jednostce objętości.

Tenże autor w rozdziale zamieszczonym w monografii o konstrukcjach aluminiowych [4] interpretuje wzór (1.4) w sensie makroskopowym w zastosowaniu do złomu kruchego lub poślizgowego.

W obecnej pracy autorzy rozumieją wytyżenie (1.3) również w sensie makroskopowym i jako przykładową bazę empiryczną przyjmują zbiór doświadczeń wykonanych na próbkach makroskopowych przez drugiego z autorów [2]. A więc wytyżenie w dla ustalonego naprężenia i materiału równa się granicy, do której dąży częstość zniszczenia w normal-

nych próbach wytrzymałościowych. Różnica merytoryczna między wzorem (1.3) i (1.4) polega na tym, że dystrybuanta $F(Q, R)$ dla skorelowanych Q i R nie da się napisać za pomocą prawdopodobieństw brzegowych \varkappa i λ , tak jak to ma miejsce we wzorze (1.4). Ponadto w pracy niniejszej zwrócona jest uwaga na rozbieżność pojęć wyężenia i wadliwości. Wprawdzie wadliwość partii materiału można określić tym samym wzorem (1.3) co wyężenie, ale wtedy przez Q^* , R^* należy rozumieć nie naprężenie zastępcze, a minimalne gwarantowane wartości granicy plastyczności i wytrzymałości:

$$(1.5) \quad Q^* = Q_{\min}, \quad R^* = R_{\min}.$$

Jeśli brakiem nazwiemy materiał o cechach nie spełniających układu nierówności, analogicznych do (1.1),

$$(1.6) \quad Q > Q_{\min}, \quad R > R_{\min},$$

to wadliwość w , określona wzorami (1.3) i (1.5), jest prawdopodobieństwem wypuszczenia braku pod warunkiem, że nie ma kontroli jakości.

W dalszym ciągu pracy przedstawione będą konsekwencje wynikające z różnego interpretowania wartości granicznych Q^* i R^* w przypadku wyężenia i wadliwości.

2. Rozkład losowych cech wytrzymałościowych

Funkcje rozkładu cech wytrzymałościowych są przedmiotem wielu prac teoretycznych i doświadczalnych [1, 9 i 11]. Najczęściej jednak rozkłady tych cech analizuje się z osobna nie przypuszczając istnienia stochastycznej zależności.

Mając przede wszystkim na uwadze stal konstrukcyjną przyjmujemy normalny łączny rozkład prawdopodobieństw granicy plastyczności Q i wytrzymałości R o gęstości prawdopodobieństw jak następuje:

$$(2.1) \quad f(Q, R) = \\ = \frac{1}{2\pi\mu_Q\mu_R\sqrt{1-r_{QR}^2}} \exp\left\{-\frac{1}{2(1-r_{QR}^2)} \left[\frac{(Q-\bar{Q})^2}{\mu_Q^2} - 2r_{QR} \frac{Q-\bar{Q}}{\mu_Q} \frac{R-\bar{R}}{\mu_R} + \frac{(R-\bar{R})^2}{\mu_R^2} \right] \right\},$$

gdzie \bar{Q} , \bar{R} oznaczają wartości średnie, μ_Q , μ_R odchylenia standardowe, $r_{QR} = \text{cov}(Q, R)/\mu_Q \mu_R$ współczynnik korelacji.

Odpowiednie rozkłady brzegowe przedstawia rys. 1.

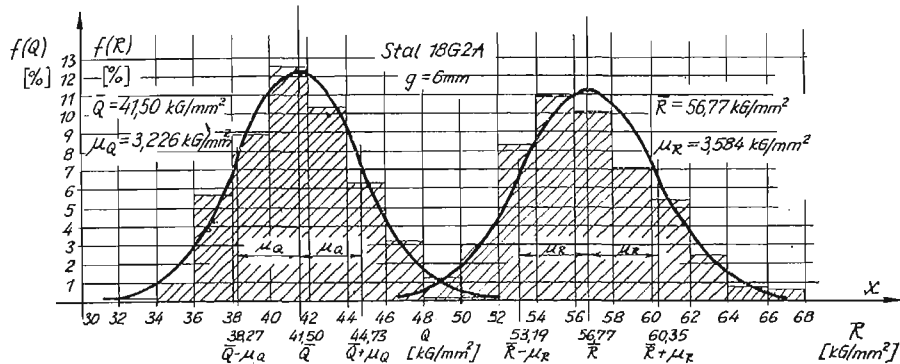
Przy takich założeniach abstrahujemy od tego, że cechy wytrzymałościowe są funkcją stochastyczną punktu ośrodka. Ogranicza to nasze rozważania do elementów konstrukcyjnych o wymiarach mniej więcej tego rzędu, co badane doświadczalnie próbki, i naprężonych równomiernie, choć niekoniecznie jednoosiowo. W ten sposób eliminujemy tzw. efekty skali.

W celu jaśniejszego przedstawienia sprawy i możliwości zilustrowania wywodów realnymi wykresami wyspecyfikowano przykładowe parametry rozkładu prawdopodobieństw.

Analizę statystyczną przeprowadzono na podstawie doświadczeń rozciągania 874 próbek losowo wyciętych z arkuszy blach o grubości 6 mm stali niskostopowej, manganowo-krzemowej 18G2A [2].

Stal ta zyskuje coraz większe znaczenie w zastosowaniach do niektórych rodzajów konstrukcji stalowych, mianowicie tam, gdzie może być wykorzystana jej podwyższona wytrzymałość.

Próby rozciągania przeprowadzono przy kontrolowanych naprężeniach. Wyniki doświadczeń zestawiono w tabelcy 1 podając jednocześnie zależność stochastyczną między granicą plastyczności Q i granicą wytrzymałości R .



Rys. 1

Tabela 1. Rozkład empiryczny wartości Q i R stali 18G2A n_{ij}

Q_i kg/mm ²	kg/mm ²										n_i	
	R_j	48-50	50-52	52-54	54-56	56-58	58-60	60-62	62-64	64-66		66-68
30-32		2										2
32-34		2	2									4
34-36		2	12	4	1							19
36-38			30	51	17	1	1					100
38-40			10	74	57	14	1	1				157
40-42			1	16	90	81	26	10				224
42-44				3	23	62	70	20	2			180
44-46					5	15	20	56	13	1		110
46-48						5	8	9	29	4	1	56
48-50									1	9	11	21
50-52											1	1
n_j		6	55	148	193	178	126	96	45	14	13	874

Parametry rozkładu prawdopodobieństw oszacowano na podstawie rozkładu empirycznego jak następuje:
wartości średnie

$$(2.2) \quad \bar{Q} \approx \frac{1}{n} \sum_{i=1}^k n_i Q_i = 41,50 \text{ kG/mm}^2,$$

$$\bar{R} \approx \frac{1}{n} \sum_{j=1}^l n_j R_j = 56,77 \text{ kG/mm}^2;$$

odchylenia średnie

$$(2.3) \quad \begin{aligned} \mu_Q &\approx \sqrt{\frac{1}{n} \sum_{i=1}^k n_i Q_i^2 - \bar{Q}^2} = 3,226 \text{ kG/mm}^2, \\ \mu_R &\approx \sqrt{\frac{1}{n} \sum_{j=1}^l n_j R_j^2 - \bar{R}^2} = 3,584 \text{ kG/mm}^2, \end{aligned}$$

współczynnik korelacji

$$(2.4) \quad r_{QR} = \frac{\text{cov}(Q, R)}{\mu_Q \mu_R} \approx \frac{\frac{1}{n} \sum_{i=1}^k \sum_{j=1}^l n_{ij} Q_{ij} R_{ij} - \bar{Q} \bar{R}}{\mu_Q \mu_R} = 0,809.$$

Dystrybuanta rozkładu normalnego wyraża się wzorem symbolicznym

$$(2.5) \quad F(Q^*, R^*) = \int_{-\infty}^{Q^*} \int_{-\infty}^{R^*} f(Q, R) dQ dR,$$

i jej wartości oblicza się dla ustalonych Q^* , R^* za pomocą tablic dwuwymiarowego rozkładu normalnego [10].

3. Warunki plastyczności i wytrzymałości

Zagadnienie najtrafniejszego wyboru hipotezy wyężeniowej, a więc warunku plastyczności i warunku wytrzymałości, jest w zasadzie zagadnieniem odrębnym [5 i 6].

Dla prostoty przyjmijmy klasyczne hipotezy. Jako pierwszą, najlepszą naszym zdaniem kombinację, przyjmijmy warunek plastyczności Hubera-Misesa-Hencky'ego (σ_H) i warunek wytrzymałości Galileusza (σ_G). Naprężenia zastępcze wyrażają się następującymi wzorami:

$$(3.1) \quad \begin{aligned} \sigma_H &= \sqrt{\frac{1}{2} \sqrt{(\sigma_1 - \sigma_2)^2 + (\sigma_2 - \sigma_3)^2 + (\sigma_3 - \sigma_1)^2}}, \\ \sigma_G &= \sigma_1, \quad \sigma_1 \geq \sigma_2 \geq \sigma_3. \end{aligned}$$

Równanie

$$(3.2) \quad w(\sigma_H, \sigma_G) = F(\sigma_H, \sigma_G) = \text{const}$$

określa powierzchnię równych wyężzeń, która pokrywa się z powierzchnią graniczną naprężeń dla poziomu wyężenia w według definicji probabilistycznej [7].

Powierzchnię graniczną naprężeń wyrazimy analitycznie przy użyciu układu walcowych niezmienników naprężenia σ_A , σ_D , ω_σ .

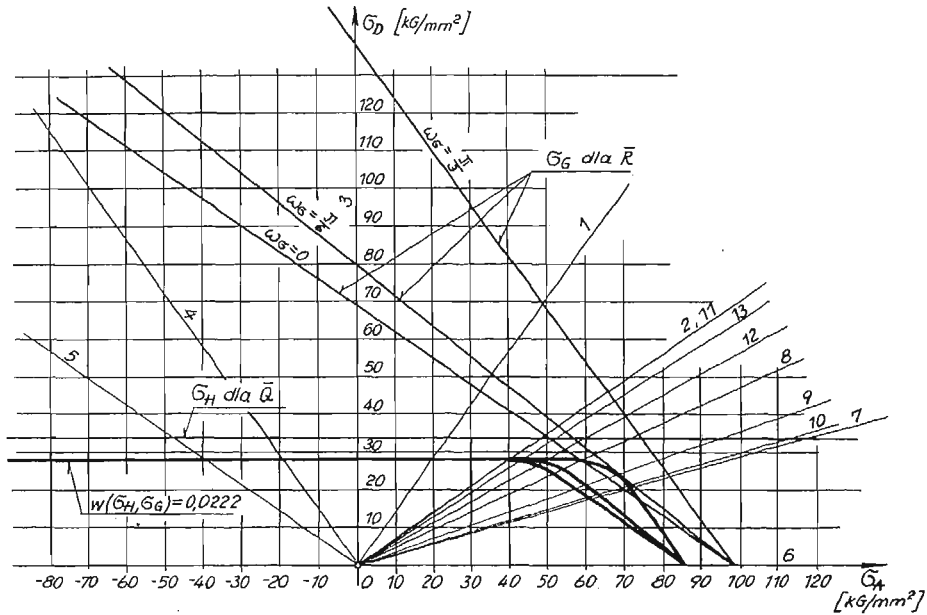
Walcowym układem niezmienników względnie współrzędnych w przestrzeni naprężeń nazywa się następującą transformację naprężeń głównych:

$$(3.3) \quad \begin{aligned} \sigma_A &= \sqrt{\frac{1}{3}} (\sigma_1 + \sigma_2 + \sigma_3), \\ \sigma_D &= \sqrt{\frac{1}{3}} \sqrt{(\sigma_1 - \sigma_2)^2 + (\sigma_2 - \sigma_3)^2 + (\sigma_3 - \sigma_1)^2}, \\ \omega_\sigma &= \arcsin \frac{\sigma_2 - \sigma_3}{\sqrt{2} \sigma_D} = \arctg \frac{\sigma_2 - \sigma_3}{\sqrt{3} \sigma_1 - \sigma_A}. \end{aligned}$$

Zapis analityczny warunku plastyczności i warunku wytrzymałości we współrzędnych walcowych jest następujący:

$$(3.4) \quad \sigma_H = \sqrt{\frac{3}{2}} \sigma_D, \quad \sigma_G = \sqrt{\frac{1}{3}} \sigma_A + \sqrt{\frac{2}{3}} \sigma_D \cos \omega_\sigma,$$

a interpretację geometryczną podaje rys. 2.



Rys. 2

Ślady przecięcia powierzchni granicznej z pękiem płaszczyzn przechodzących przez oś σ_A dla różnych kątów ω_σ dają proste σ_H dla warunku plastyczności i proste σ_G dla warunku wytrzymałości.

Wprowadzamy parametr t :

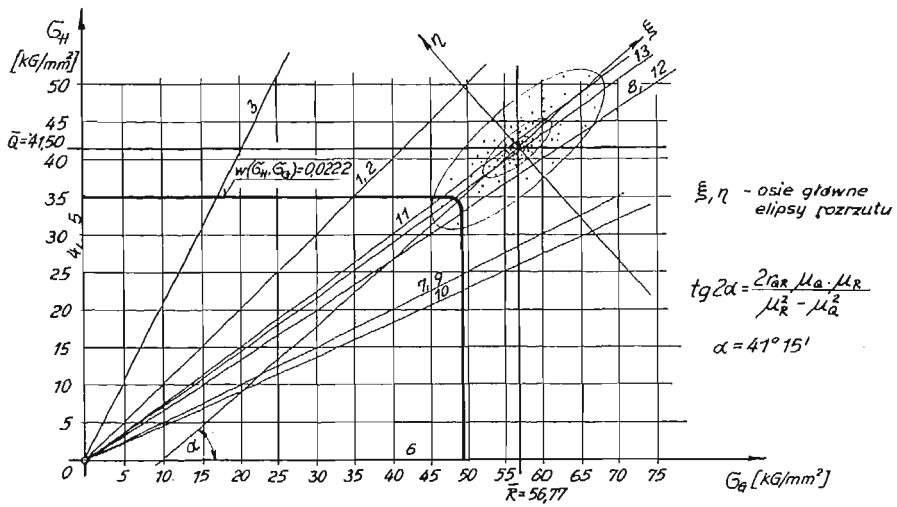
$$(3.5) \quad t = \frac{\sigma_D}{\sigma_A}$$

i przyporządkowujemy każdej prostej drodze obciążenia wychodzącej z punktu początkowego $\sigma_A = 0, \sigma_D = 0$ określoną wartość tego parametru. A zatem przy ustalonym kącie ω_σ mamy również linię prostą na płaszczyźnie naprężeń zastępczych σ_H, σ_G . Jej równanie uzyskujemy ze wzoru (3.4):

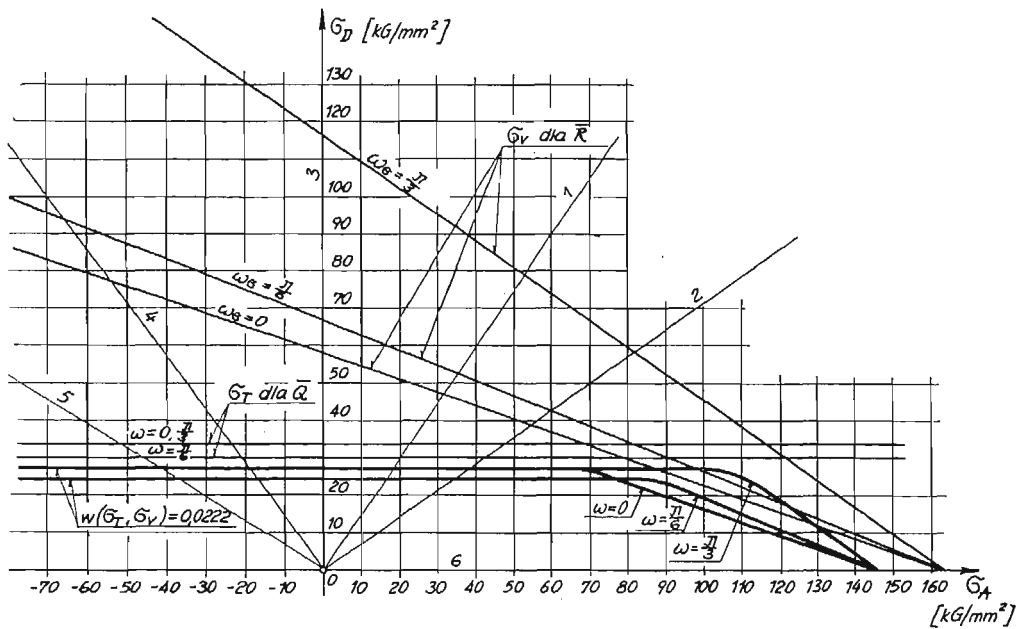
$$(3.6) \quad \sigma_G = \left(\frac{\sqrt{2}}{3t} + \frac{2}{3} \cos \omega_\sigma \right) \sigma_H,$$

co obrazuje rys. 3.

Analogicznie, przy założeniu innych warunków wytrzymałościowych można zbudować inne warianty powierzchni granicznych w przestrzeni naprężeń głównych i pęku prostych na płaszczyźnie naprężeń zastępczych.



Rys. 3



Rys. 4

Na przykład dla kombinacji warunku plastyczności Treski-Guesta i warunku wytrzymałości St Venanta:

$$(3.7) \quad \sigma_T = \sigma_1 - \sigma_3, \quad \sigma_V = \sigma_1 - \nu(\sigma_2 + \sigma_3)$$

otrzymuje się proste proporcjonalnego obciążenia na płaszczyźnie naprężeń zastępczych wg wzoru:

$$(3.8) \quad \sigma_V = \left[\frac{1-2\nu}{\sqrt{2}t} + (1+\nu)\cos\omega_\sigma \right] \frac{\sigma_T}{\frac{3}{2}\cos\omega_\sigma + \frac{\sqrt{3}}{2}\sin\omega_\sigma}.$$

Warunek analogiczny do (3.2):

$$(3.9) \quad w(\sigma_T, \sigma_V) = \text{const}$$

określa odpowiednią powierzchnię graniczną w przestrzeni naprężeń, co obrazuje rys. 4.

4. Ustalenie poziomu wytyżenia

Wykresy $w = \text{const}$ na rys. 2, 3, 4 wykonane są dla ustalonego konkretnego poziomu wytyżenia $w = 2,22 \%$ (tabl. 2).

Różnice krzywoliniowych wykresów granicznych w stosunku do linii łamanych wynikających z deterministycznych «zjednoczonych» hipotez byłyby inne dla niższych lub wyższych poziomów wytyżenia.

Wartość $2,22 \%$ obliczono przyjmując, że dla jednoosiowego stanu naprężenia argument dystrybuanty wynosi 35 kG/mm^2 , a zatem:

$$(4.1) \quad w = P(Q < k^*, R < k^*) = 1 - \int_{k^*}^{\infty} \int_{k^*}^{\infty} f(Q, R) dQ dR = 0,0222$$

dla $k^* = 35 \text{ kG/mm}^2$ i $f(Q, R)$ wg wzorów (2.1), (2.2), (2.3), (2.4).

Przyjęta wartość k^* jest nieco mniejsza niż normatywna minimalna granica plastyczności $Q_{\min} = 36 \text{ kG/mm}^2$ dla stali 18G2A i grubości 4–16 mm, ale większa niż tzw. naprężenie graniczne $K = 30 \text{ kG/mm}^2$ (dla metody obliczeń uwzględniającej współczynniki przeciążenia) i większa niż naprężenie dopuszczalne $k = 25 \text{ kG/mm}^2$ (określone z zastosowaniem pełnego współczynnika bezpieczeństwa). Wartość k^* ma znaczenie przykładowe. Racjonalne, obiektywne jej wyznaczenie wymagałoby sprecyzowania przeznaczenia konstrukcji i kosztu awarii oraz zastosowania metod optymalizacyjnych teorii bezpieczeństwa [8].

Istotną i ważną rzeczą, którą szczególnie chcemy podkreślić, jest, że wytyżenie $w = 2,22 \%$ zostało obliczone wg (4.1) po podstawieniu we wzorze (1.3) równych wartości:

$$(4.2) \quad \sigma_H = \sigma_G = k^*,$$

co odpowiada punktowi położonemu na prostej nachylonej pod kątem 45° względem osi układu naprężeń zastępczych (rys. 3). Równość naprężeń zastępczych (4.2) jest tu konieczna, bo przy jednoosiowym stanie naprężenia wynika ona z definicji naprężenia zastępczego.

Natomiast jeśliśmy określali wadliwość, to możemy ustalić dowolne proporcje Q_{\min} i R_{\min} i na ogół ustala się:

$$(4.3) \quad Q_{\min} \neq R_{\min},$$

bowiem racjonalne podejście do sprawy ustalenia nominalnych wartości Q_{\min} i R_{\min} w świetle pracy [3] polega raczej na tym, by zrównać częstość występowania braków

Tablica 2. Numeryczne wyliczenie granicznych tensorów naprężenia dla $w(\sigma_H, \sigma_G) = \text{const}$

Lp.	Stan naprężenia						$t = \frac{\sigma_D}{\sigma_A}$	$\sigma_G = \left(\frac{\sqrt{2}}{3t} + \frac{2}{3} \cos \omega_\sigma \right) \sigma_H$			$w(\sigma_H, \sigma_G)$	
	Określenie	Naprężenie główne			Współrzędne walcowe			Wzór ogólny	Wartość σ_H (kG/mm ²)	Wartość σ_G (kG/mm ²)		
		σ_1	σ_2	σ_3	σ_A	σ_D						ω_σ
1.	Jednoosiowe rozciąganie	σ	0	0	$\sqrt{\frac{1}{3}}\sigma$	$\sqrt{\frac{2}{3}}\sigma$	0°	$\sqrt{2}$	$\sigma_G = \sigma_H = k^*$	35,00	35,00	0,0222
2.	Dwuosiowe rozciąganie	σ	σ	0	$\frac{2}{\sqrt{3}}\sigma$	$\sqrt{\frac{2}{3}}\sigma$	60°	$\sqrt{\frac{1}{2}}$	$\sigma_G = \sigma_H$	35,00	35,00	0,0222
3.	Czyste ścinanie	σ	0	$-\sigma$	0	$\sqrt{2}\sigma$	30°	∞	$\sigma_G = \sqrt{\frac{1}{3}}\sigma_H$	35,00	20,20	0,0222
4.	Jednoosiowe ściskanie	0	0	$-\sigma$	$-\sqrt{\frac{1}{3}}\sigma$	$\sqrt{\frac{2}{3}}\sigma$	60°	$-\sqrt{2}$	$\sigma_G = 0$	35,00	0	0,0222
5.	Dwuosiowe ściskanie	0	$-\sigma$	$-\sigma$	$-\frac{2}{\sqrt{3}}\sigma$	$\sqrt{\frac{2}{3}}\sigma$	0°	$-\sqrt{\frac{1}{2}}$	$\sigma_G = 0$	35,00	0	0,0222
6.	Trójosiowe rozciąganie	σ	σ	σ	$\sqrt{3}\sigma$	0	dowolne	0	$\sigma_G = \sqrt{\frac{1}{3}}\sigma_A$	0	49,57	0,0222
7.	Trójosiowe rozciąganie	σ	σ	$\frac{1}{2}\sigma$	$\frac{5}{2\sqrt{3}}\sigma$	$\sqrt{\frac{1}{6}}\sigma$	60°	$\frac{\sqrt{2}}{5}$	$\sigma_G = 2\sigma_H$	24,75	49,50	0,0222
8.	Trójosiowe rozciąganie	σ	σ	$\frac{1}{4}\sigma$	$\frac{9}{4\sqrt{3}}\sigma$	$\frac{6}{4}\sigma$	60°	$\frac{\sqrt{2}}{3}$	$\sigma_G = 1,5\sigma_H$	33,00	49,50	0,0222
9.	Trójosiowe rozciąganie	σ	$\frac{1}{2}\sigma$	$\frac{1}{2}\sigma$	$\frac{2}{\sqrt{3}}\sigma$	$\sqrt{\frac{1}{6}}\sigma$	0°	$\frac{1}{2}\sqrt{\frac{1}{2}}$	$\sigma_G = 2\sigma_H$	24,75	49,50	0,0222
10.	Trójosiowe rozciąganie	σ	$\frac{9}{16}\sigma$	$\frac{9}{16}\sigma$	$1,23\sigma$	$0,36\sigma$	0°	0,291	$\sigma_G = 2,287\sigma_H$	21,60	49,50	0,0222
11.	Trójosiowe rozciąganie	σ	$\frac{1}{4}\sigma$	$\frac{1}{4}\sigma$	$\frac{3}{2\sqrt{3}}\sigma$	$\frac{\sqrt{6}}{4}\sigma$	0°	$\frac{1}{\sqrt{2}}$	$\sigma_G = \frac{4}{3}\sigma_H$	35,00	46,70	0,0222
12.	Trójosiowe rozciąganie	σ	$\frac{1}{3}\sigma$	$\frac{1}{3}\sigma$	$\frac{5}{3\sqrt{3}}\sigma$	$\frac{2}{3}\sqrt{\frac{2}{3}}\sigma$	0°	$\frac{2}{5}\sqrt{2}$	$\sigma_G = 1,5\sigma_H$	33,00	49,50	0,0222
13.	Trójosiowe rozciąganie	σ	0,28 σ	0,28 σ	0,90 σ	0,59 σ	0	0,655	$\sigma_G = 1,387\sigma_H$	34,70	48,10	0,0222

o zaniżonym Q lub R , a uzyskuje się to wtedy, gdy Q_{\min} i R_{\min} są kwantylami tego samego rzędu rozkładów brzegowych, czyli

$$(4.4) \quad Q_{\min} = \bar{Q} - \lambda\mu_Q, \quad R_{\min} = \bar{R} - \lambda\mu_R,$$

gdzie $\lambda = \text{const}$ jest standaryzowanym odchyleniem granicznym, będącym funkcją wadliwości parametrycznej.

Na zakończenie poruszymy jeszcze kwestię związku wytężenia z bezpieczeństwem. Otóż uważamy, że nawet w najprostszym jednorodnym polu naprężeń, działającym w elemencie konstrukcyjnym, nie są to pojęcia ściśle z siebie wynikające. Bowiem ten sam element projektowany dla wielu powtarzalnych budowli, mających pracować w tych samych warunkach, narażony bywa w rzeczywistości na niekoniecznie takie same obciążenia. Trzeba więc zrezygnować z postulatu stałości naprężenia i analizować bezpieczeństwo traktując także obciążenia jako zmienną losową.

Literatura cytowana w tekście

1. А. М. ДЛИН, *Математическая статистика в технике*, Советская Наука, Москва 1958.
2. Z. MENDERA, *Wytężenie spoiny czolowej w połączeniach stali konstrukcyjnej o podwyższonej wytrzymałości*, Rozprawa doktorska, Politechnika Krakowska, Kraków 1964.
3. Z. MENDERA, *Korelacja cech wytrzymałościowych stali i jej wpływ na wadliwość*, Arch. Inżyn. Lądowej, 1966.
4. R. MROMLIŃSKI, *Konstrukcje aluminiowe*, Wyd. II, Arkady, Warszawa 1964.
5. J. MURZEWSKI, Z. MENDERA, *Yield surface of steel determined by semi-empirical method*, Bull. Acad. Polon. Sci., Série Sci., Techn., 7, 11 (1963).
6. J. MURZEWSKI, Z. MENDERA, *Wytrzymałość stali i żeliwa w ogólnym stanie naprężenia*, PAN i PZITB, Konstrukcje stalowe w budownictwie i mostownictwie, Księga pokonferencyjna, Arkady, Warszawa 1960, 243.
7. J. MURZEWSKI, *A probabilistic theory of plastic and brittle behaviour of quasi-homogeneous materials*, Arch. Mech. Stos., 2, 12 (1960), 203.
8. J. MURZEWSKI, *Wprowadzenie do teorii bezpieczeństwa konstrukcji*, PWN, Warszawa 1963.
9. J. RYŚ, *Zależność statystyczna R_f i a_5 od składu chemicznego w stalach konstrukcyjnych węglowych wyższej jakości*, Arch. Hutn., 2, 4 (1961), 147.
10. Н. В. СМЕРНОВ, Л. Н. ВОЛШЕВ, *Таблицы для вычисления функции двумерного нормального распределения*, АН СССР, Москва 1962.
11. W. WIERZBIŃSKI, *Obiektywne metody oceny bezpieczeństwa konstrukcji budowlanych*, PWN, Warszawa 1961.

Резюме

КОРРЕЛЯЦИЯ ПРОЧНОСТНЫХ СВОЙСТВ И НАПРЯЖЕННОСТЬ МАТЕРИАЛА

Для конструкционной стали предполагается двумерное, нормальное распределение предела текучести Q и предела прочности R , $f(Q, R)$ и определяются все пять параметров этого распределения, а именно: средние значения \bar{Q} и \bar{R} , среднее отклонение μ_Q и μ_R , а также коэффициент корреляции r_{QR} — с использованием статистического анализа.

Статистический анализ проводился на основе результатов испытаний на растяжение 874 образцов, случайно вырезанных из листов низколегированной, марганцево-кремниевой стали толщиной 6 мм.

Полученные результаты дают возможность определить предел разрушения при одноосном напряженном состоянии, понимаемый как объединение (в смысле теории вероятности) предела пластичности Q и предела прочности R для заданного уровня натуги.

Натуга понимается как вероятность и может быть выражена при помощи двумерных функций распределения предела текучести и предела прочности, на основе формулы (4.1).

Понятие предела разрушения обобщается на случай сложного напряженного состояния. Это приводит к граничным поверхностям, построенным для заданного уровня натуги 2,22% и для комбинации условий пластичности и прочности Губера-Мизеса-Генки и Галилея, а затем Треска и Сен-Венана.

Далее, уточняется взаимосвязь понятия натуги в вероятностном смысле и понятия прочности употребляемого при статистическом контроле качества.

S u m m a r y

THE CORRELATION OF STRENGTH PROPERTIES AND MATERIAL UNSERVICEABILITY

Two dimensional normal distribution of yield limit Q , and cleavage limit R , $f(Q, R)$, has been assumed for structural steel. A set of five parameters of the distribution has been found by means of statistical analysis, namely:

mean values \bar{Q} and \bar{R} , mean deflection μ_Q and μ_R as well as the correlation coefficient r_{QR} .

The statistical analysis was carried out on the basis of 874 test specimens cut out from low alloy manganese silicon steel sheet 6 mm thick.

The results allow to define a failure limit in uniaxial stress meant as an alternative of yield limit Q and cleavage limit R (in probabilistic meaning) for given unserviceability level.

The unserviceability is considered as probability and may be expressed with the help of the cumulative function of the two-dimensional yield limit and cleavage distribution by the formula (4.1). The definition of the failure limit is generalized for three-axial stress states and limit surfaces are derived for the given unserviceability level 2.22% and for the combination of either Huber-Mises-Hencky and Galileo or Tresca and St. Venant yield and fracture conditions.

Further a relation between unserviceability in probabilistic meaning and defectiveness as applied in statistical control of quality has been defined.
